

# SIMECK에 대한 양자회로 최적화 구현

<https://youtu.be/H4rLPqXEkPo>

송경주

# SIMECK

- SIMECK

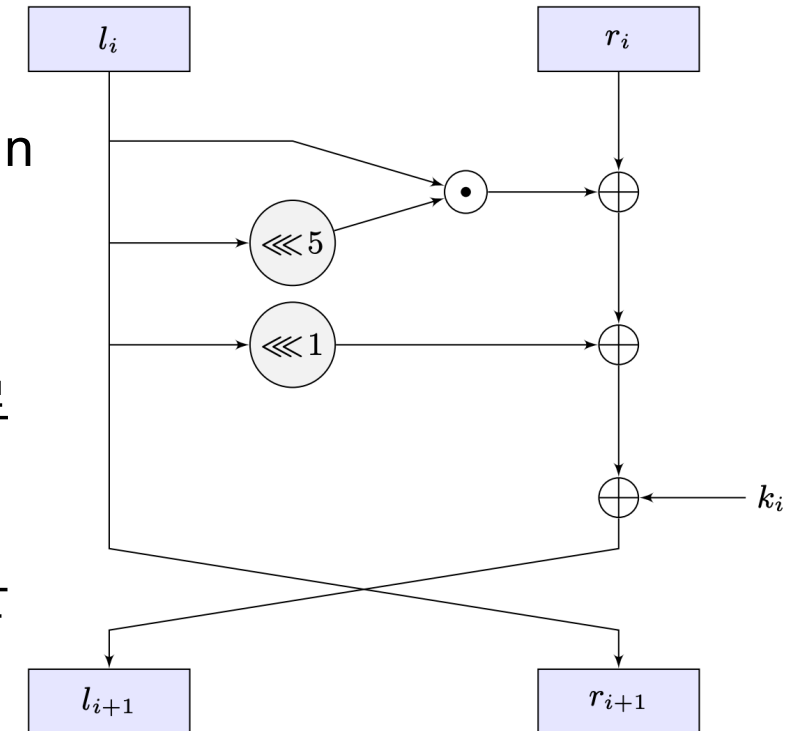
- SIMECK : SIMON과 SPECK의 장점을 결합하여 설계한 경량암호
- SIMON의 라운드 함수를 수정하여 SPECK과 유사하게 키 스케줄 함수에서 재사용
- Feistel 구조의 라운드 함수와 키 스케줄 함수로 동작함

## <SIMECK 라운드 함수>

- 평문이 두개의 word  $l_i, r_i$  로 나뉘며 최상위  $n$  비트가  $l_0$ , 최하위  $n$  비트가  $r_0$  이 된다.

$$R_{k_i}(l_i, r_i) = (r_i \oplus f(l_i) \oplus k_i, l_i)$$

- 라운드 함수의 내부 함수는  $f(x) = (x \odot (x \lll 5)) \oplus (x \lll 1)$  로 동작한다.
- 내부함수에서는 두 개의 입력 중 첫 번째 입력의 rotation을 통한 AND 값을 두 번째 입력에 XOR하는 연산이 수행된다.



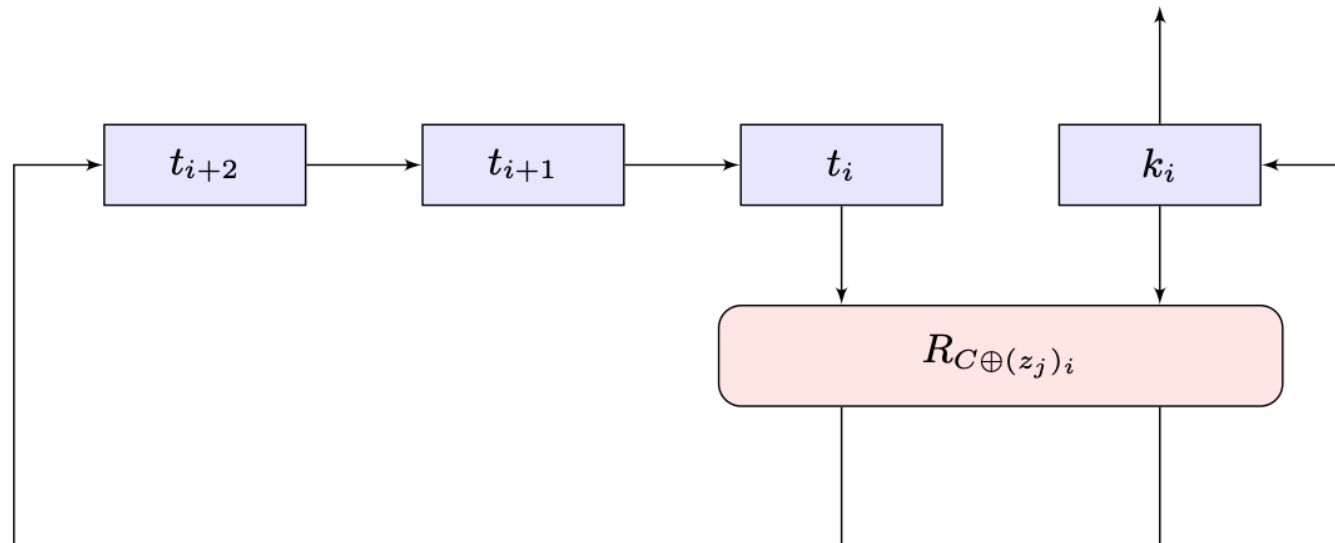
# SIMECK

## <SIMECK 키 스케줄링 함수>

- 키 스케줄링 함수에서는 라운드 함수에서 사용할 라운드 키를 생성한다.
- 키 스케줄에서 생성된 키는 라운드 함수의 두번째 입력에 XOR 된다.
- 마스터 키 K를 4개의 word ( $t_2, t_1, t_0, k_0$ )로 나누어 라운드 키를 생성한다.

$$\begin{cases} k_{i+1} = t_i, \\ t_{i+3} = k_i \oplus f(t_i) \oplus C \oplus (z_j)_i \end{cases}$$

- 키 스케줄링 함수의 내부 함수  $f(x)$  는 라운드 함수의 내부함수와 동일함



# SIMECK 양자회로 구현

- SIMECK 양자회로에서는 양자자원을 줄이기 위한 효율적인 방법을 사용하였음

## < SIMECK 라운드 함수 양자회로 구현>

- Ancilla 큐비트를 줄이기 위해  $x \odot (x \lll 5)$  연산에서 발생하는 temp 값을 따로 저장하지 않고 Toffoli gate를 사용하여 연산 대상 큐비트에 바로 저장되도록 구현함
- Shift 연산에 대해서는 Swap 게이트를 사용하지 않고 연산 큐비트의 인덱스를 변경하여 동작하도록 함

---

Algorithm 1 : SIMECK quantum circuit for round function

---

Input :  $l_r, r_r$

Output :  $l_r, r_r, k_r$

```
for i in range(length( $r_r$ )):
     $r_r \leftarrow$  Toffoli( $l_r, l_r \ggg 11, r_r$ )
     $r_r \leftarrow$  CNOT( $l_r \ggg 15, r_r$ )
```

```
for i in range(length( $r_r$ )):
     $r_r \leftarrow$  CNOT( $k_r, r_r$ )
```

Swap( $l_r, r_r$ )

---

# SIMECK 양자회로 구현

## < SIMECK 키 스케줄 함수 양자회로 구현 >

- 양자자원을 줄이기 위해 키 스케줄 함수를 변경하여 사용함
- 기존 키 스케줄 함수에서는 key 대신 constant와 CNOT연산을 진행함 → CNOT 게이트를 사용하기 위해서는 constant 를 양자자원(큐비트) 으로 할당하여 사용해야 함
- 제안하는 양자회로에서는 constant와 큐비트 classic to quantum 연산을 진행함

→ Constant를 classic 자원인 정수로 할당하여 큐비트 및 양자 게이트를 사용하지 않고 업데이트 함

→ constant의 1인 인덱스 위치에 X 게이트가 동작하도록 설계

---

Algorithm 2 : SIMECK quantum circuit for key schedule

---

Input :  $l_r, r_r$

Output :  $l_r, r_r, \text{constant}$

for i in range(length( $r_r$ )):

$r_r \leftarrow \text{Toffoli}(l_r, l_r \gg 11, r_r)$

$r_r \leftarrow \text{CNOT}(l_r \gg 15, r_r)$

if constant[i] = 1

X ( $r_r$ )

for i in range(length( $r_r$ )):

$r_r \leftarrow \text{CNOT}(k_r, r_r)$

Swap( $l_r, r_r$ )

---

# 평가

- 개발 환경 : IBM 에서 제공하는 양자 프로그래밍 툴 ProjectQ
- 양자 자원 추정: ProjectQ 에서 제공하는 ResourceSimulation 사용

- <표 1>은 SIMECK (블록 크기)/(키 길이)에 대한 암호 양자회로 자원 추정 결과를 보여줌
- 표에 제시된 양자자원 결과는 암호화가 한번 진행될 때 필요한 양자자원을 나타냄
- SIMECK 암호에 대한 brute-force attack 수행에는 Grover's algorithm 내부의 Oracle 반복 만큼 암호화를 진행 :  $2 \times \text{<표 1>} \times \left\lceil \frac{\pi}{4} \times \sqrt{2^{\text{key length}}} \right\rceil$  의 양자 자원 필요

| Algorithm     | Quantum gates |       |         |       |
|---------------|---------------|-------|---------|-------|
|               | X             | CNOT  | Toffoli | Depth |
| SIMECK 32/64  | 465           | 1,536 | 1,024   | 214   |
| SIMECK 48/96  | 792           | 2,592 | 1,728   | 232   |
| SIMECK 64/128 | 1,320         | 4,224 | 2,816   | 361   |

<표 1> SIMECK (블록 크기)/(키 길이)에 대한 암호 양자회로 자원 추정 결과

# 평가

- 개발 환경 : IBM 에서 제공하는 양자 프로그래밍 툴 ProjectQ
- 양자 자원 추정: ProjectQ 에서 제공하는 ResourceSimulation 사용

- SIMECK 양자회로 구현에 대한 선행연구가 없으므로 비슷한 경량암호 SIMON와 비교함
- SIMECK과 동일한 (블록 사이즈)/(키 사이즈) 를 가지는 SIMON과 비교했을 때, SIMECK 이 SIMON 보다 더 많은 Toffoli 게이트를 사용하였지만 Depth가 훨씬 작게 구현 되었음

| Algorithm     | Quantum gates |       |         |       |
|---------------|---------------|-------|---------|-------|
|               | X             | CNOT  | Toffoli | Depth |
| SIMECK 32/64  | 465           | 1,536 | 1,024   | 214   |
| SIMECK 48/96  | 792           | 2,592 | 1,728   | 232   |
| SIMECK 64/128 | 1,320         | 4,224 | 2,816   | 361   |

<표 2> SIMECK 양자회로 자원 추정 결과

| Algorithm    | Quantum gates |       |         |       |
|--------------|---------------|-------|---------|-------|
|              | X             | CNOT  | Toffoli | Depth |
| SIMECK 32/64 | 448           | 2,816 | 512     | 946   |
| SIMECK 48/96 | 768           | 4,800 | 864     | 1,597 |

<표 3> SIMON 양자회로 자원 추정 결과

Q & A